



Un algorithme polynomial 2-approché pour
le problème de dimensionnement des
mémoires avec débit maximum intrinsèque

Olivier MARCHETTI & Alix MUNIER-KORDON
Université Pierre et Marie Curie
GdR ASR-MAO
Jeudi 3 Avril 2008 - ENS LYON

PLAN

- ▶ Présentation & Contexte
- ▶ Notations
- ▶ Résultats de complexité
- ▶ Complexité de Débit Intrinsèque Maximum (DMI)
- ▶ Un algorithme 2-approché pour DMI



Présentation & Contexte

Présentation du problème - Introduction

- ▶ Tâches : programmes asynchrones.
- ▶ Communiquent avec buffers.
- ▶ Opérations séquentielles de lecture/écriture.
- ▶ Capacité d'un buffer : nombre de données pouvant y être stockées.
- ▶ Pour un buffer : données homogènes.

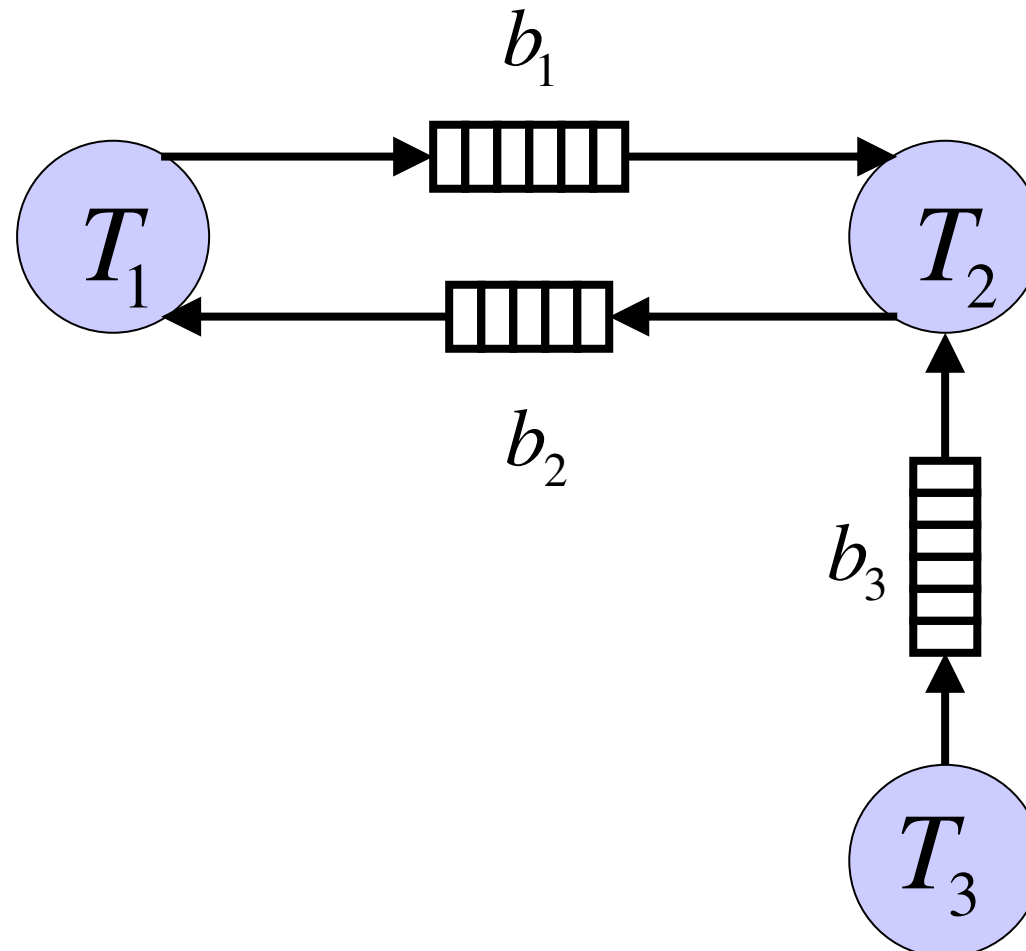
Présentation du problème - Introduction

T_1

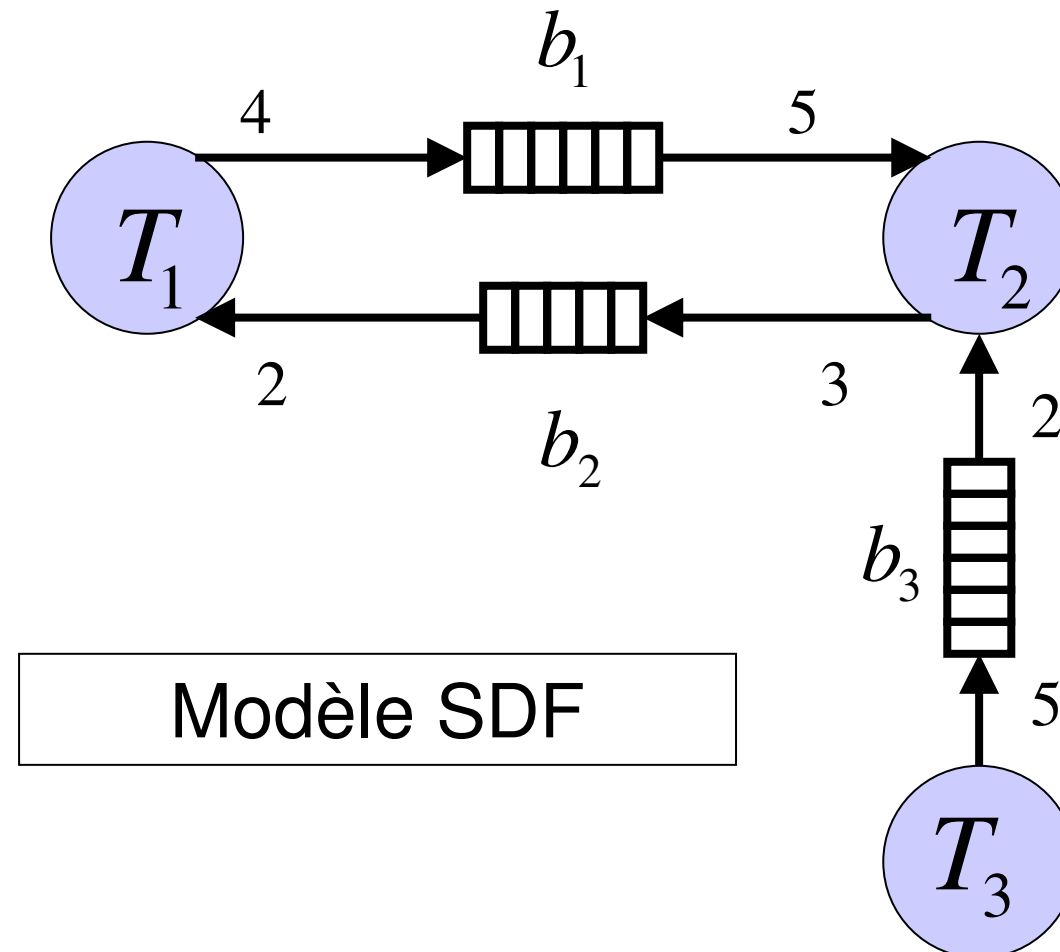
T_2

T_3

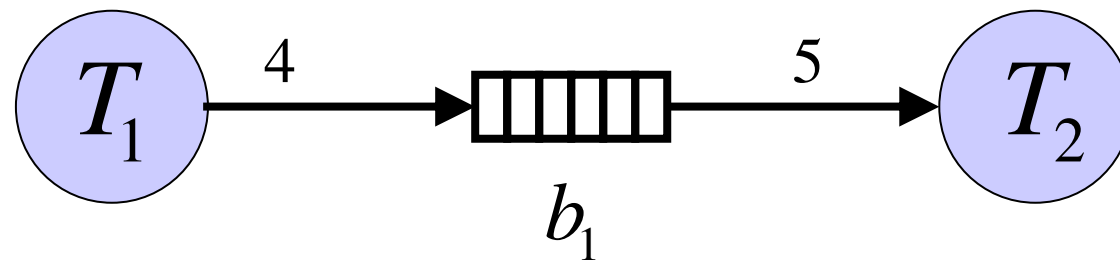
Présentation du problème - Introduction



Présentation du problème - Introduction



Présentation du problème - Introduction



- ▶ La tâche T_1 peut écrire dans b_1 .
- ▶ La tâche T_2 peut lire dans b_1 .
- ▶ Les buffers sont gérés comme des FIFOs.

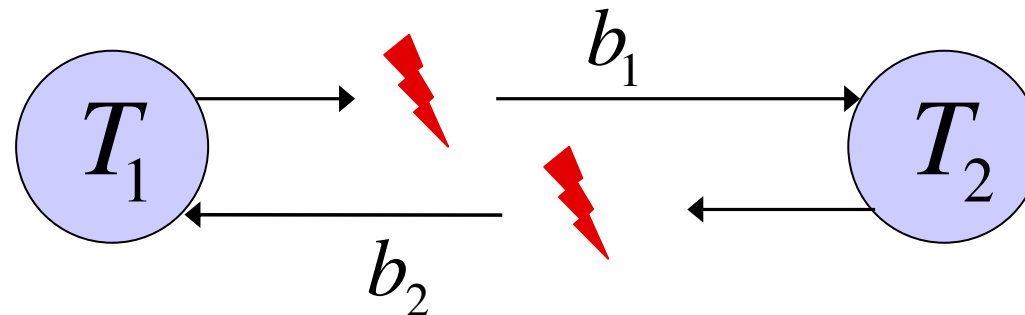
Présentation du problème - Introduction

- ▶ Une opération de lecture dans un buffer vide est impossible.
- ▶ Opération en attente.
- ▶ Tâche bloquée.

Présentation du problème - Introduction

- ▶ Une opération d'écriture dans un buffer plein est impossible.
- ▶ Opération en attente.
- ▶ Tâche bloquée.

Présentation du problème - Introduction



- ▶ Des blocages peuvent conduire à l'immobilisation complète du système.

Définition du problème

- ▶ Le problème du dimensionnement des mémoires consiste à définir pour chaque buffers une taille telle que :
 - garantie de l'absence d'interblocage (~vivacité),
 - optimiser la surface totale de ces buffers pour atteindre un débit donné (~bi-critère).

Présentation du problème - Applications Industrielles & Techniques

- ▶ Conception des DSP :
 - Applications Multimédias.
- ▶ Conception des SE temps réels.
- ▶ Modélisation de chaîne d'assemblage.
 - Limitation des stocks.

Applications Industrielles - Enjeux

- ▶ Comprendre et modéliser le fonctionnement de ces systèmes.
 - Vers des applications de plus en plus complexes.
 - Analyse de performances (débit).
- ▶ Actuellement : sur-dimensionnement.
 - Pb car coût très élevé du Silicium.
 - Pb car sur-coût en consommation.
 - Etape de vérification indispensable.



Notations

Choix de l'approche réseau de Petri

- ▶ GEGT équivalents aux SDF :
 - transition = tâche
 - place = buffer
 - jeton = donnée
- ▶ Formalisme plus éprouvé et plus standard.
- ▶ Variété des outils mis au point
 - Pb de décision,
 - Pb d'ordonnancement.

Notations - Représentation graphique

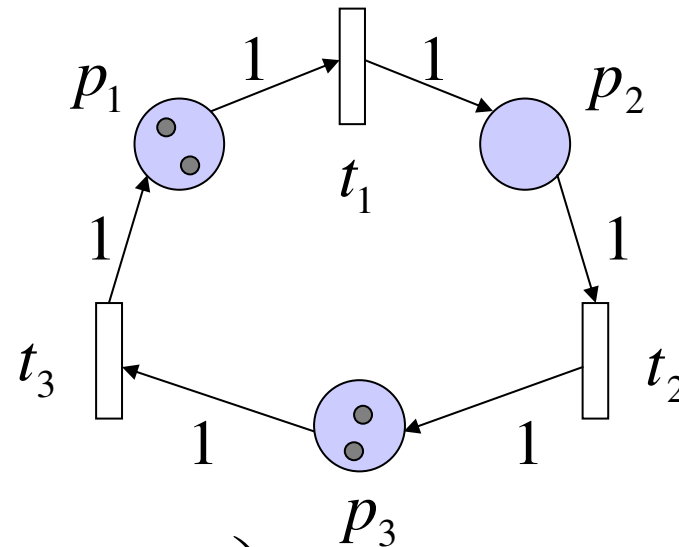
- ▶ Marquage initial :

$$M_0(p_1) = M_0(p_3) = 2$$

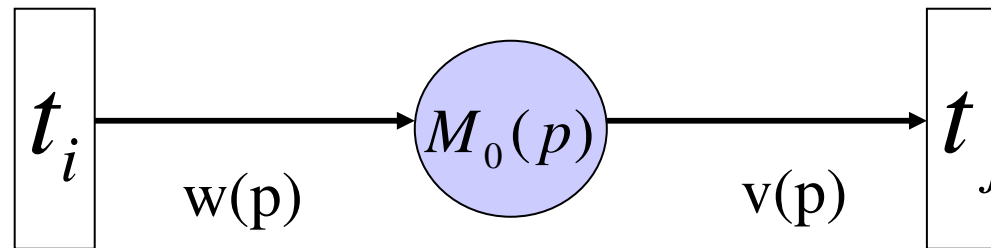
$$M_0(p_2) = 0$$

- ▶ Matrice d'incidence :

$$\Gamma_G = \begin{pmatrix} 1 & -1 & 0 \\ 0 & 1 & -1 \\ -1 & 0 & 1 \end{pmatrix}$$



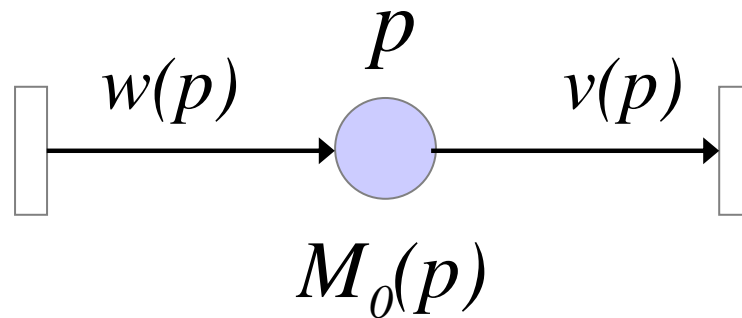
Graphe d'événements généralisé temporisé (GEGT)



- ▶ $w(p)$ = nb de jetons émis lorsque la transition est franchie.
- ▶ $v(p)$ = nb de jetons retirés pour franchir la transition.

Capacité d'une place

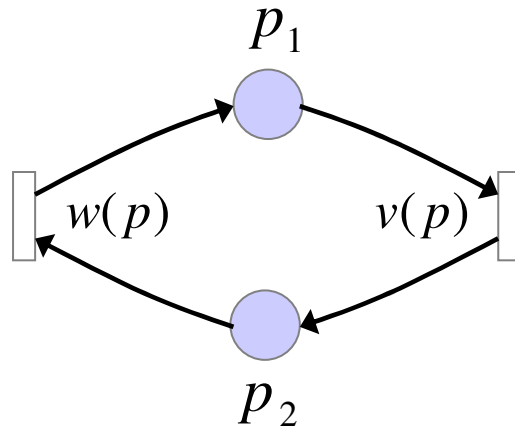
- ▶ Limitation d'une place :



$$M(p) \leq C(p)$$

Résultats sur la limitation de place

- ▶ Limitation d'une place :



$$M_0(p_1) + M_0(p_2) = C(p)$$

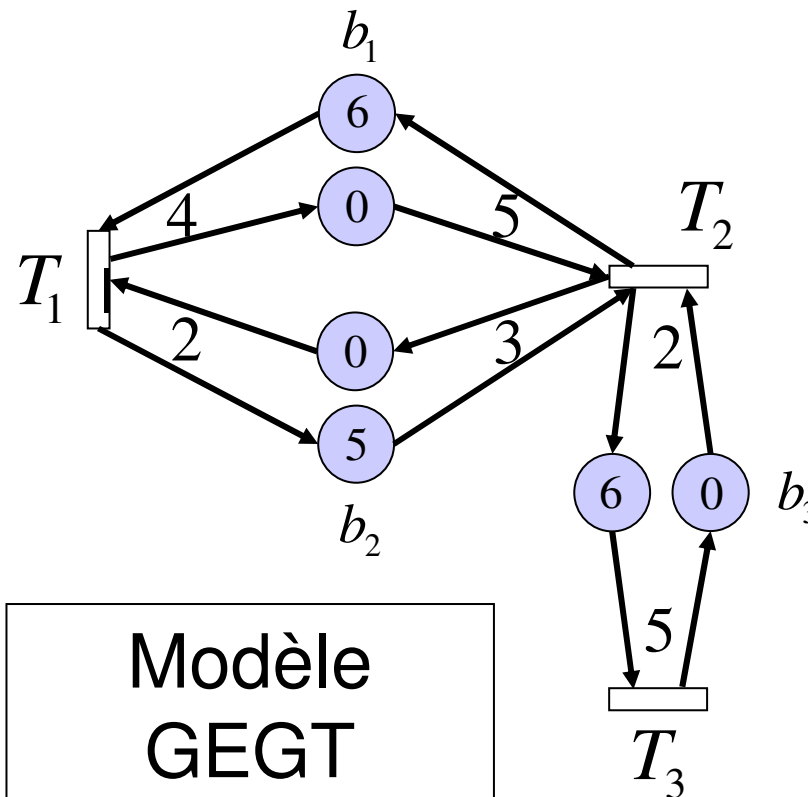
$$\text{et } M_0(p_1) = M_0(p)$$

- ▶ La taille minimale T_{min} d'une place p vaut :

$$T_{min} = w(p) + v(p) - pgcd(w(p), v(p))$$

GEGT minimalement borné

- ▶ Un GEGT est minimalement borné si chaque couple de places associées à un buffer contient T_{min} jetons.



Propriétés associées à Γ_G

- ▶ Un P-semiflot est un vecteur Y tel que :

$${}^T Y \cdot \Gamma_G = 0$$

- utilisé dans les critères d'optimisation (combinaison linéaire des marquages constante).

- ▶ Un T-semiflot est un vecteur N tel que :

$$\Gamma_G \cdot N = 0$$

- Le plus petit vecteur N non-nul désigne le nombre de répétition de chaque tâche qu'il faut faire pour atteindre de nouveau l'état initial.



Résultats de complexité

Problème de l'évaluation du débit

- ▶ Dans le cas des GEGT :
 - On ne connaît pas de certificat de vivacité de taille polynomiale.
 - Evaluer la vivacité (ou le débit) d'un GEGT se fait avec des algorithmes pseudo-polynomiaux.

- ▶ Pb : les valeurs numériques dans les SE sont très grandes.
 - Expansion (AMK) : explosion combinatoire.
 - Model Checking : idem

Restriction aux graphes d'événements temporisés (GET)

- ▶ Pour être dans NP, on travaille avec les GET.
- ▶ Soit $G = (P, T, l)$ un GET.
 - P l'ensemble de places.
 - une place modélise des contraintes.
 - T l'ensemble des transitions.
 - une transition modélise une tâche.
 - $l: T \rightarrow R^{+*}$
 - Fonctions de marquage unitaire (i.e. $w(p)=v(p)=1$ pour toute place p).

Problème Flot Ratio (Minty-1962)

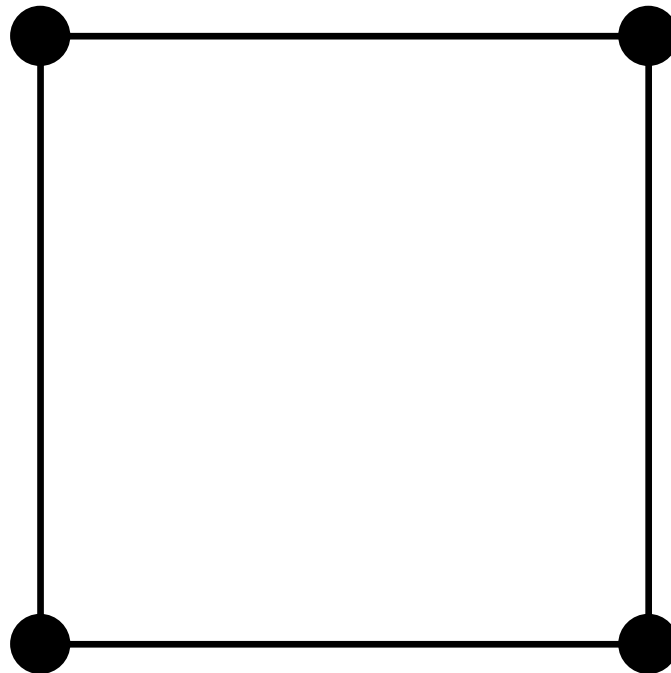
- ▶ Le flot ratio $\rho(o(G))$ d'une orientation $o(G)$ vaut :

$$\rho(o(G)) = \max \left(\frac{n_c(o)}{m_c(o)}, \frac{m_c(o)}{n_c(o)} \right)$$

- ▶ Flot Ratio : Soient $G = (V, E)$ un graphe simple et K un entier. Existe-t-il une orientation des arêtes de E telle que le flot ratio soit inférieur à K ?
- ▶ Théorème de Minty : Soit $G = (V, E)$ un graphe simple. G est K -colorable si et seulement s'il existe une orientation des arêtes de flot ratio inférieur à $K - 1$.

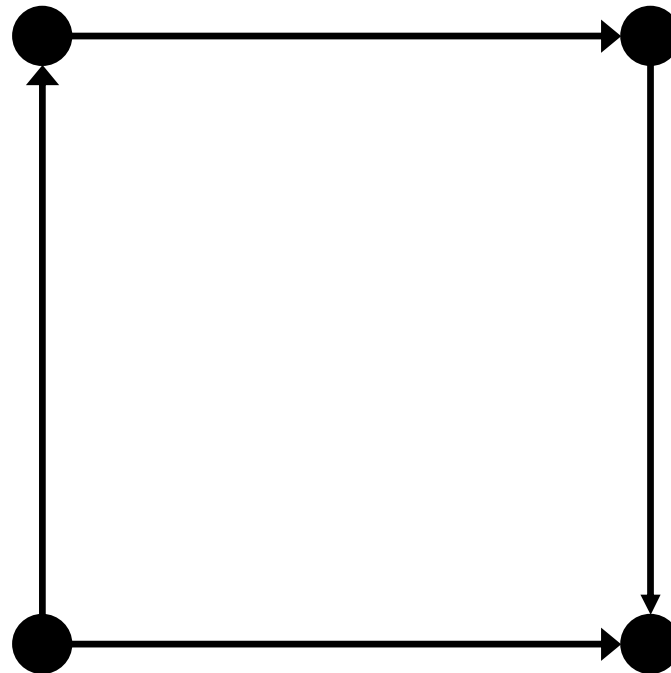
Problème Flot Ratio (Minty-1962)

▶ Exemple :



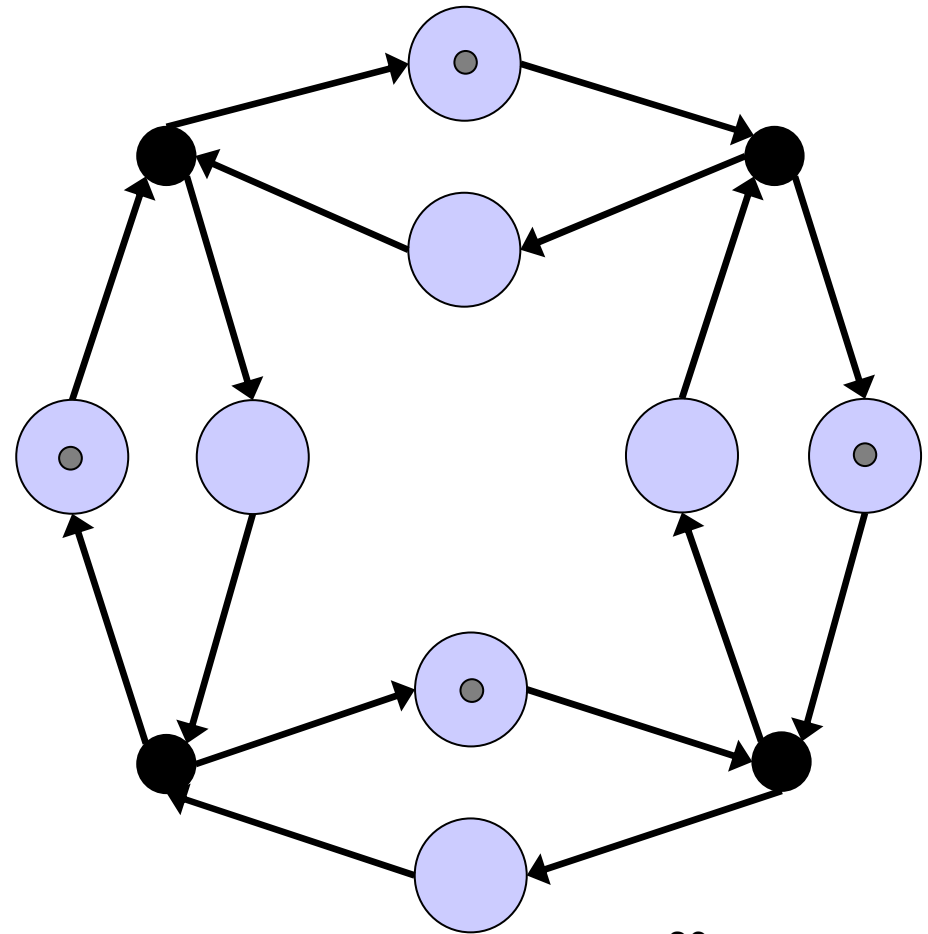
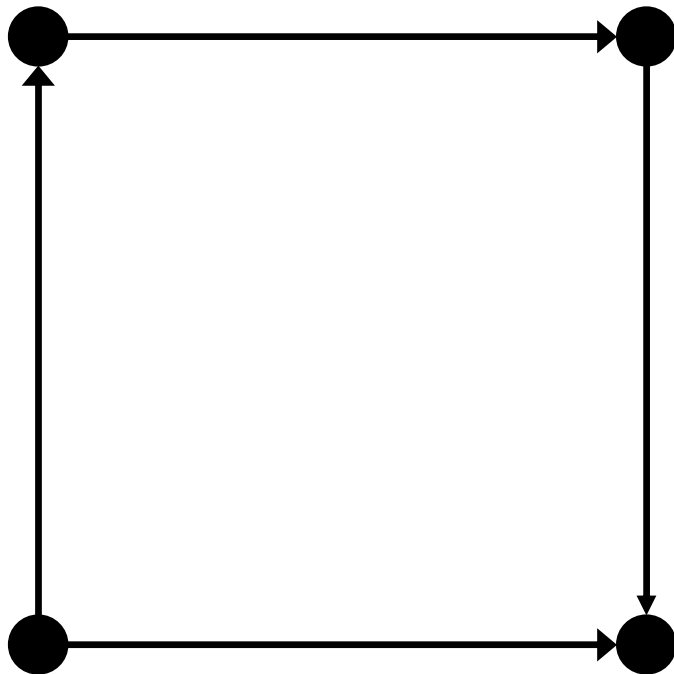
Problème Flot Ratio (Minty-1962)

► Exemple :



$$\rho(o(G)) = \max\left(\frac{3}{1}, \frac{1}{3}\right)$$

Lien avec les GET minimalement borné



Lien avec les GET minimalement borné

- ▶ Lemme (MMK-06) : Soit $o(G)$ une orientation de G et $M(G)$ le marquage minimalement borné associé à cette orientation. Alors :

$$\lambda(M(G)) = \frac{1}{\rho(o(G)) + 1}$$

- ▶ Conséquence : Calcul du Flot Ratio $\in P$.
Flot Ratio $\in NP$.

Problème Flot Ratio (Minty-1962)

- ▶ Théorème 1 (MMK-06) :
Flot ratio est *NP – Complet*.

- Preuve : Flot ratio $\in NP$.

D'après le lemme de Minty, on a
K-coloration \leq_p Flot Ratio .

Problème Débit Max - Borné Min

- ▶ Débit Max - Borné Min: Soient $G=(T, P, l)$ un GET symétrique à tâche unitaire et un entier $K > 1$. Existe-t-il un marquage initial $M(G)$ tel que :

$$\sum_{p \in P} M(p) = \left\lfloor \frac{P}{2} \right\rfloor \quad \text{et} \quad \lambda(M(G)) \geq \frac{1}{K}$$

- ▶ Théorème 2 (MMK-06) :
Débit Max - Borné Min est *NP-Complet*.
 - Preuve : Débit Max - Borné Min \in *NP*.
D'après le lemme (MMK-06),
Flot Ratio \leq_p DM-BM
 - Remarque : Flot Ratio et DM-BM sont équivalents.

Problème Optimisation de marquage

- ▶ Problème classique en conception de chaîne d'assemblage. Introduit par Laftit *et al.* en 1992.
- ▶ Optimisation de marquage: Soient $G=(T, P, I)$ un GET, Y un P-semiflot, un entier K et $Z \in [0,1]$. Existe-t-il un marquage initial $M(G)$ tel que :

$${}^T Y \cdot M(G) \leq K \quad \text{et} \quad \lambda(M(G)) \geq Z$$

Problème Optimisation de marquage

- ▶ Théorème 3 (MMK-06) : Optimisation de marquage est *NP – Complet* .
 - Preuve: Optimisation de marquage $\in NP$. Soit I une instance de DM-MB. Alors le vecteur unitaire est un P -semiflot de Γ_G .
 $DM-BM \leq_P$ Optimisation de marquage



Complexité de Débit Maximum Intrinsèque

Importance du débit maximum intrinsèque

- ▶ Lorsque les buffers sont grands, c'est comme si il n'y avait plus de contraintes entre les différentes exécutions des tâches.
- ▶ Débit Maximum Intrinsèque d'un système.
 - Cadence maximale de l'application.
 - Un ou plusieurs composants limitent le débit des autres.
- ▶ Donne une borne supérieure du débit.

Problème Débit Maximum Intrinsèque

- ▶ Problème classique en conception de chaîne d'assemblage. Introduit par Hillion *et al.* en 1987.

- ▶ Débit Maximum Intrinsèque : Soient $G=(T,P,l)$ un GET, un entier K et $l^* = \max_{t_i \in T} (l(t_i))$.

Existe-t-il un marquage initial $M(G)$ tel que :

$$M(G) \leq K \quad \text{et} \quad \lambda(M(G)) \geq \frac{1}{l^*}$$

Problème Débit Maximum Intrinsèque

- ▶ Théorème 4 (MMK-06) : Débit Maximum Intrinsèque est *NP – Complet*.

- Preuve : Débit Maximum intrinsèque $\in NP$.

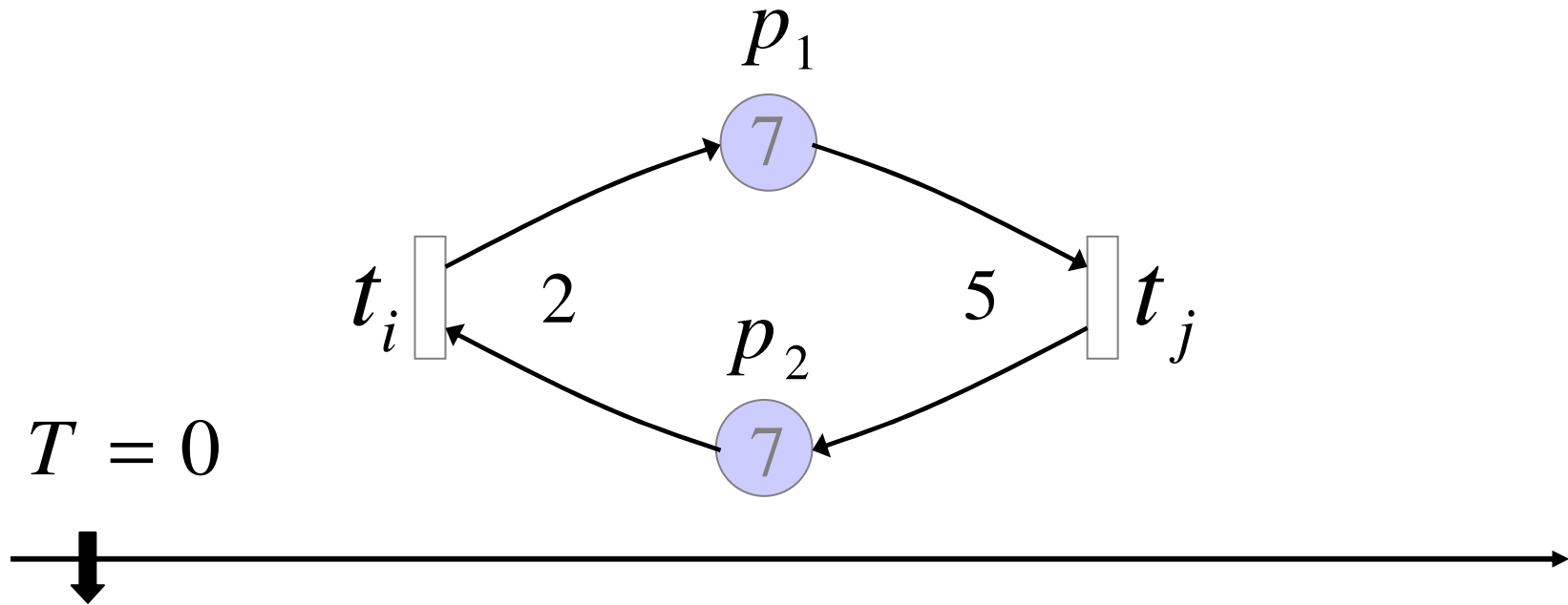
Soit I une instance de DM-BM. Ajout d'une transition de durée K reliée à G par un couple de places. Le débit M.I. vaut $\frac{1}{K}$.

$DM-BM \leq_p$ Débit Maximum Intrinsèque

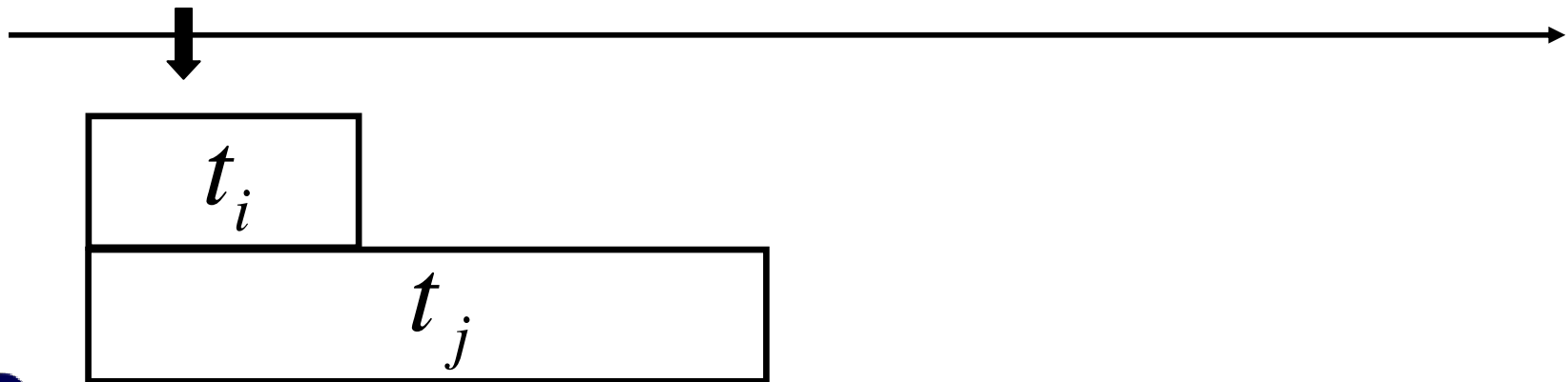
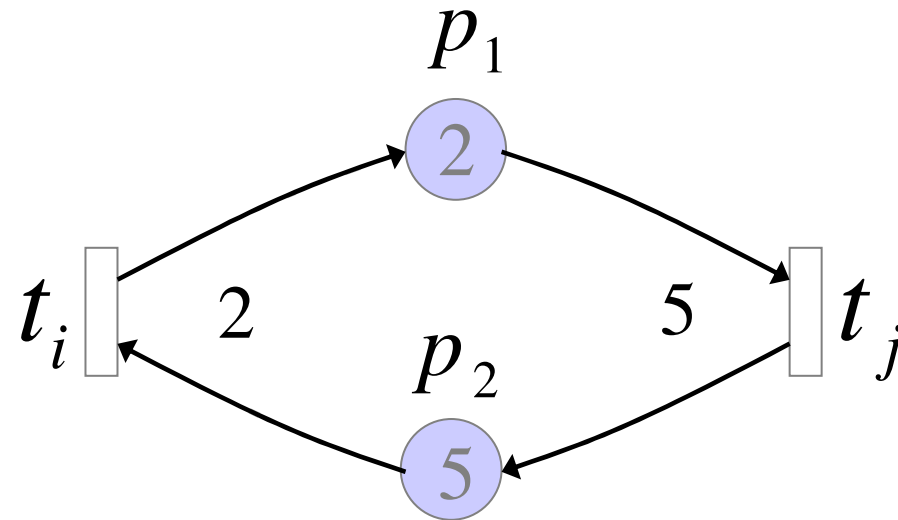


Algorithme polynomial 2-approché pour DMI

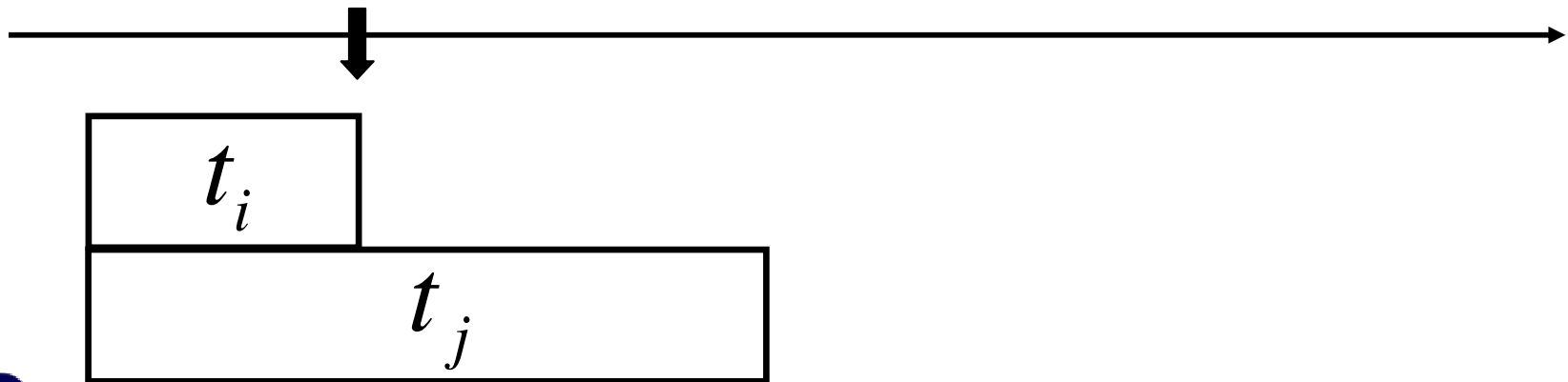
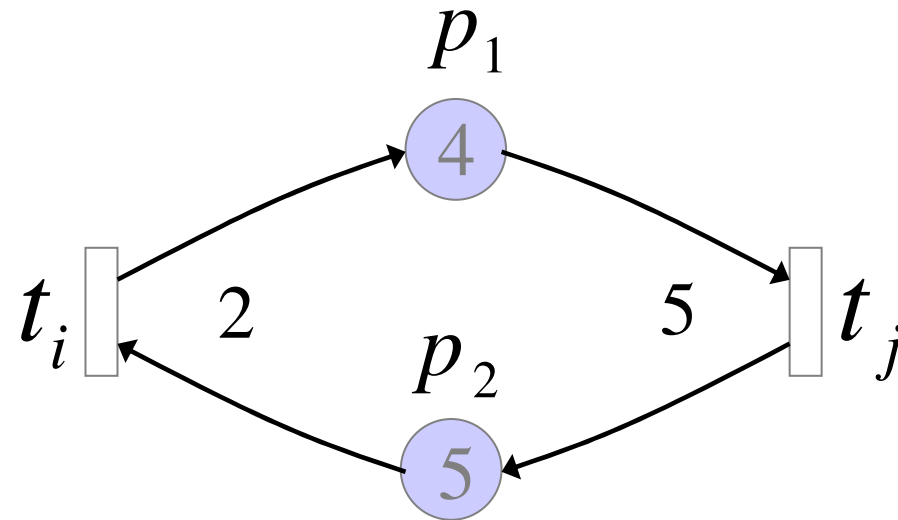
Exemple : cas à deux tâches



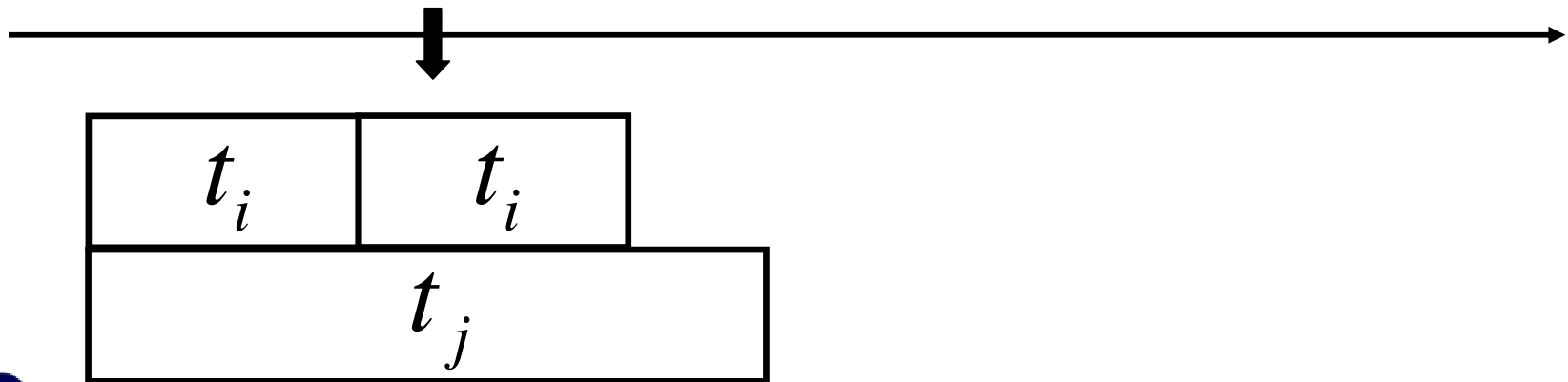
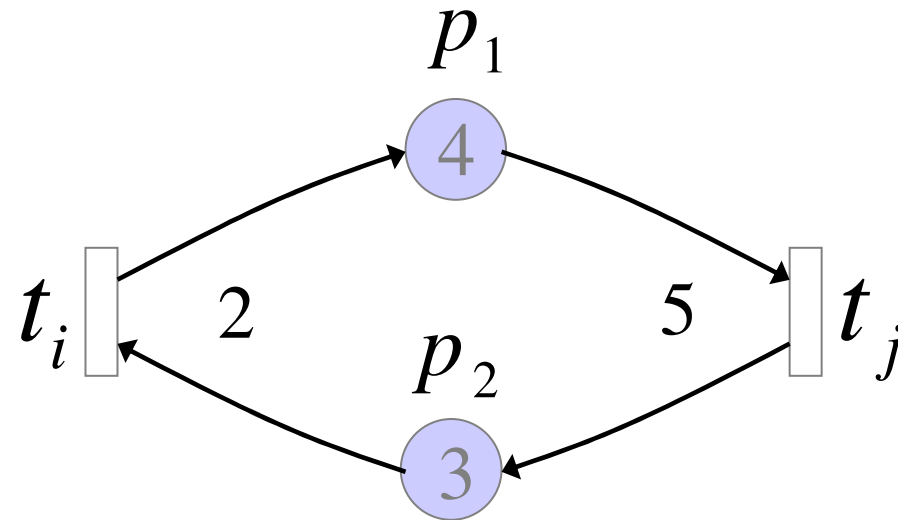
Exemple : cas à deux tâches



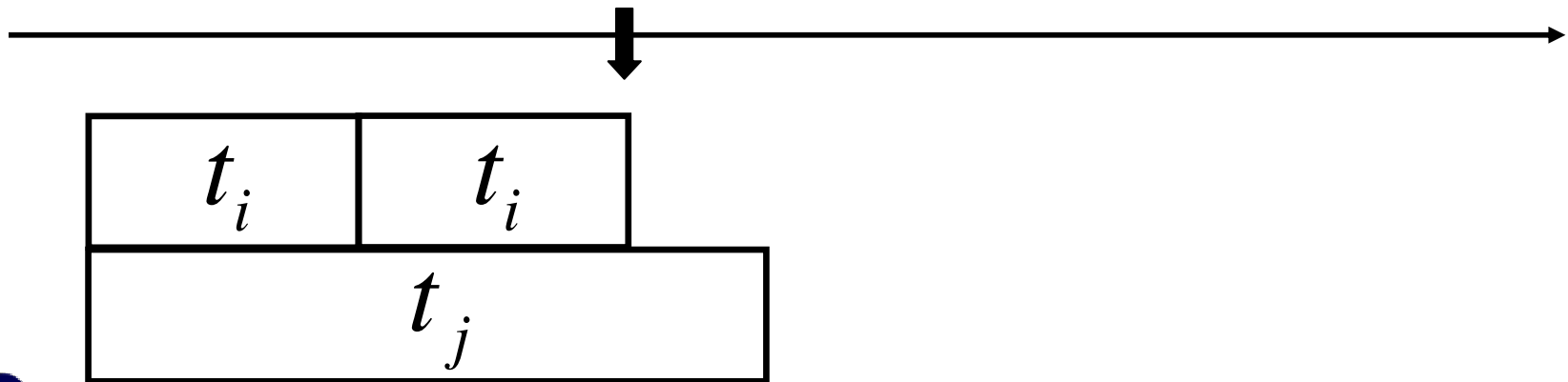
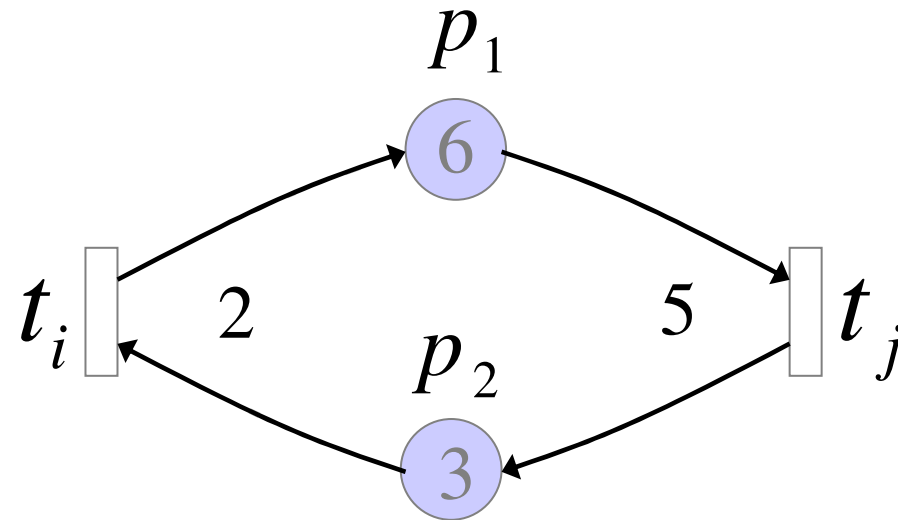
Exemple : cas à deux tâches



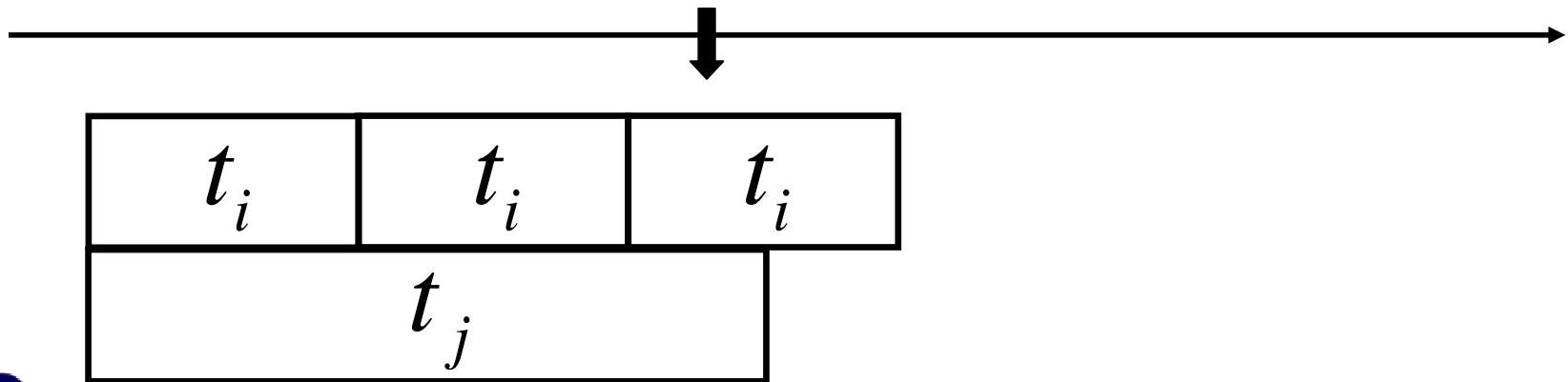
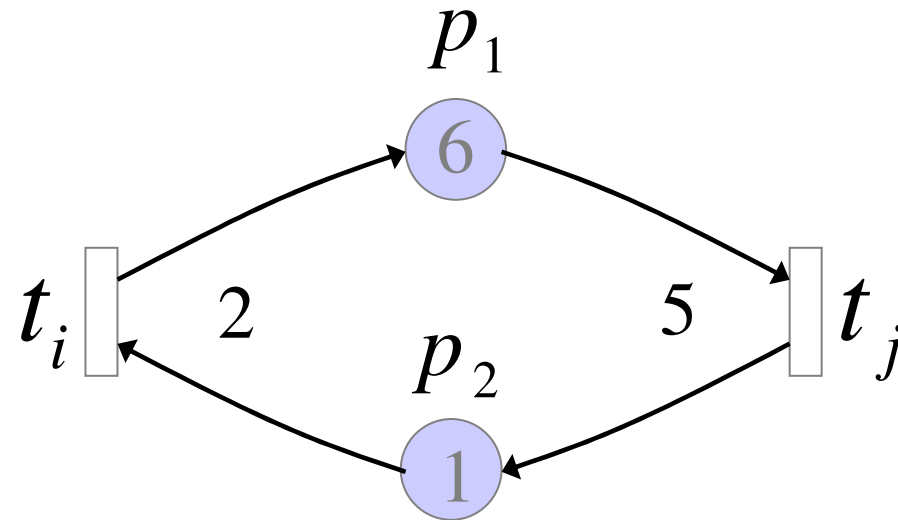
Exemple : cas à deux tâches



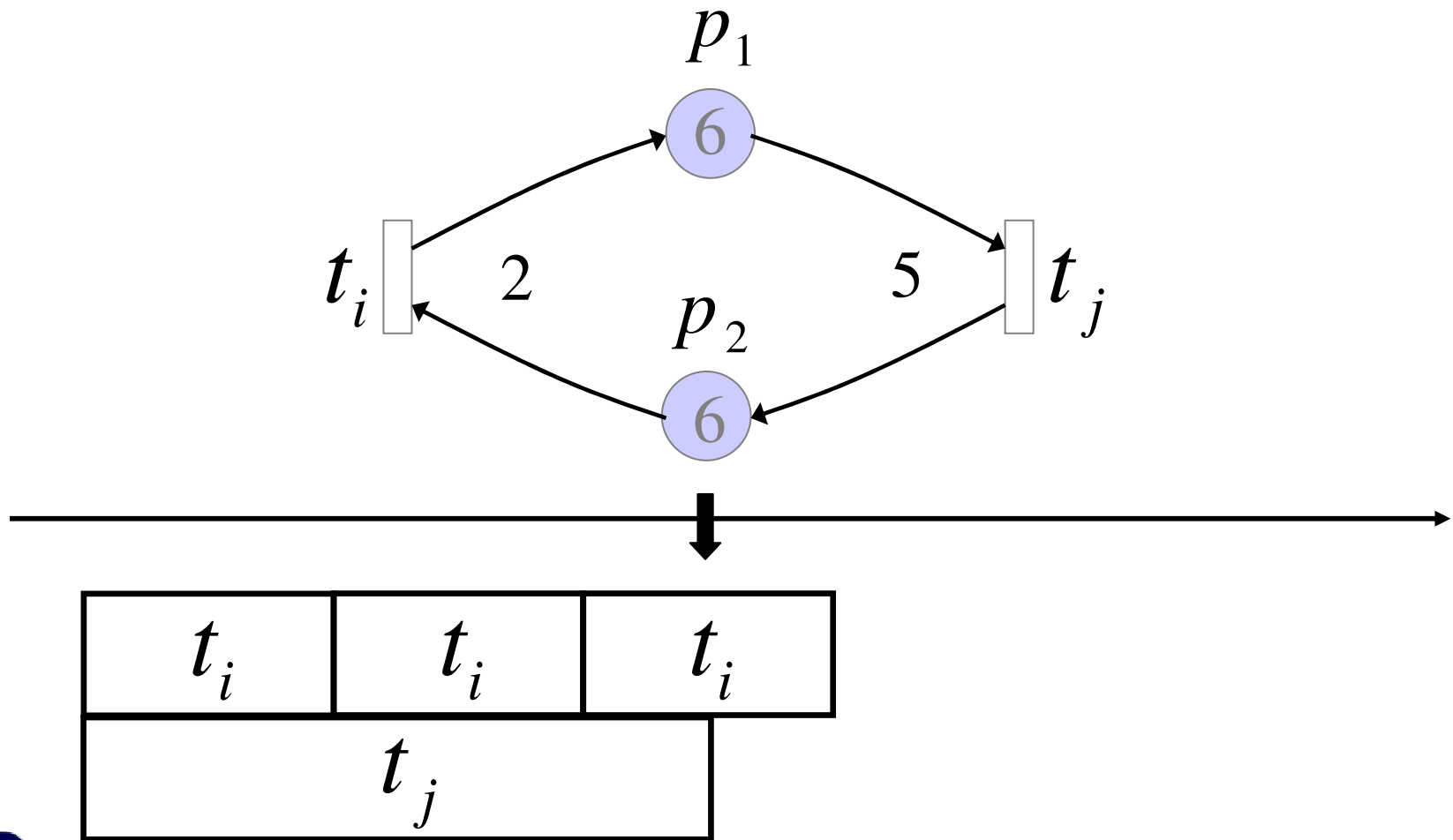
Exemple : cas à deux tâches



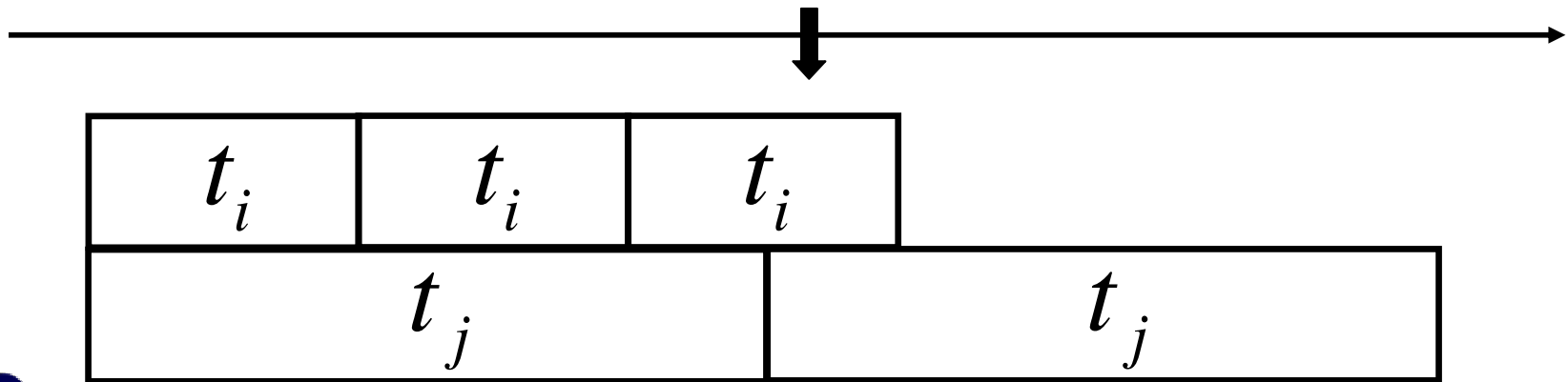
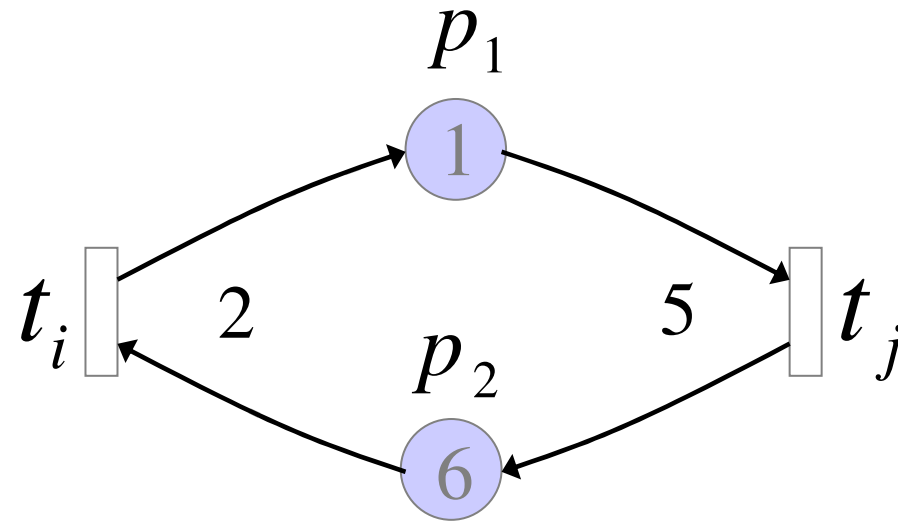
Exemple : cas à deux tâches



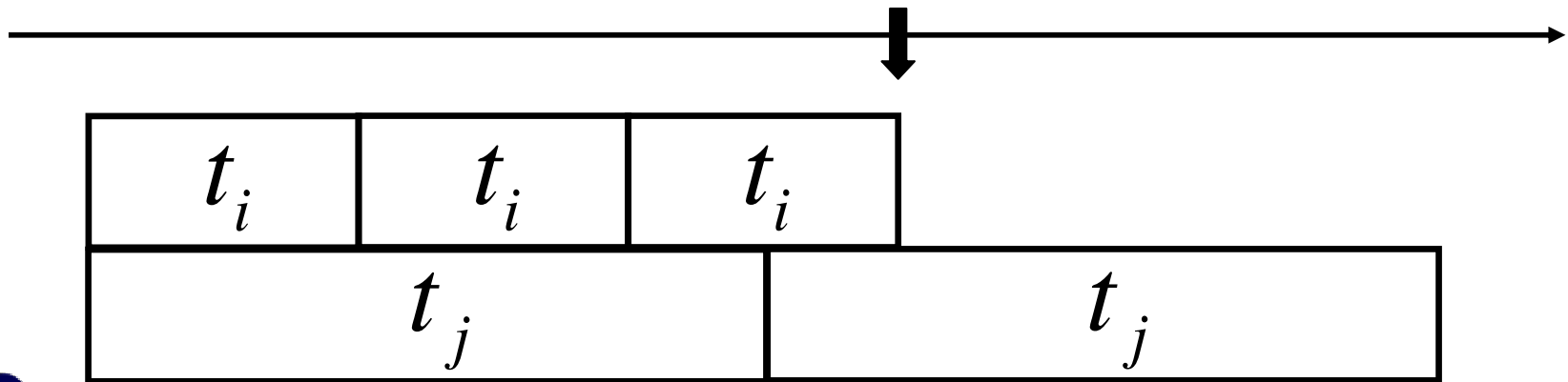
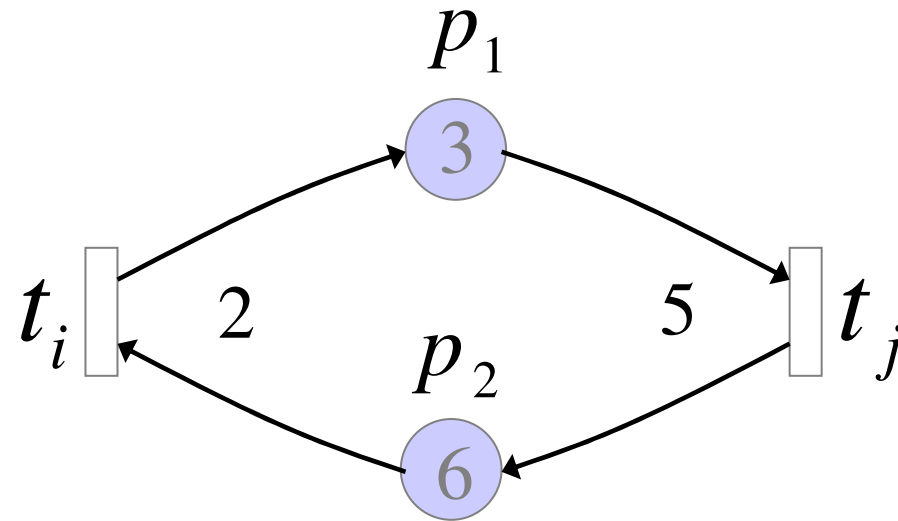
Exemple : cas à deux tâches



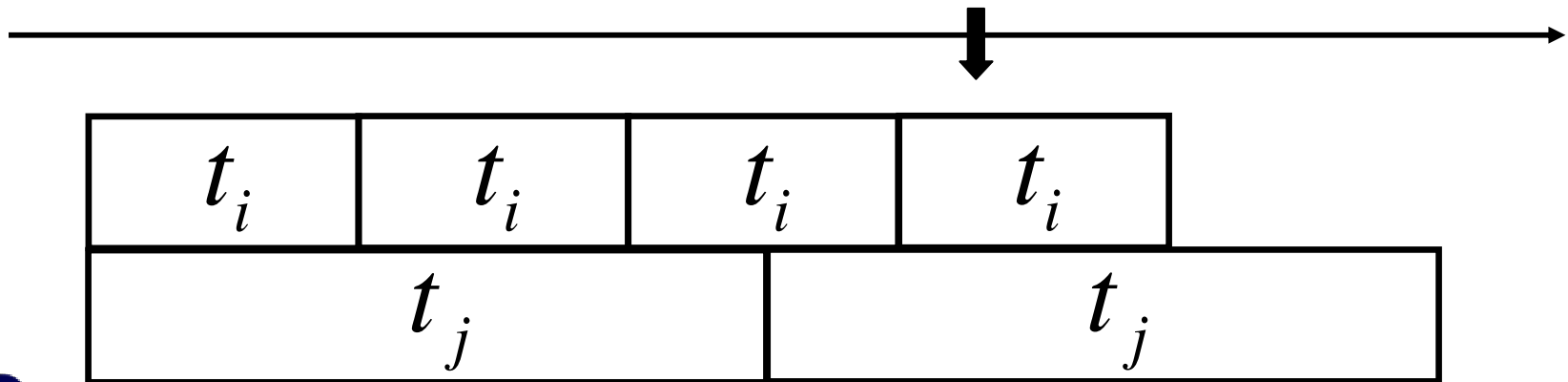
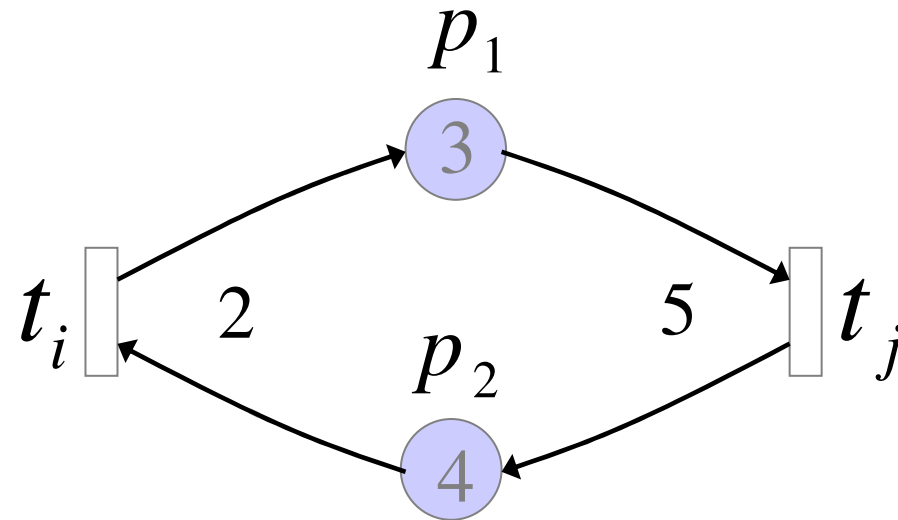
Exemple : cas à deux tâches



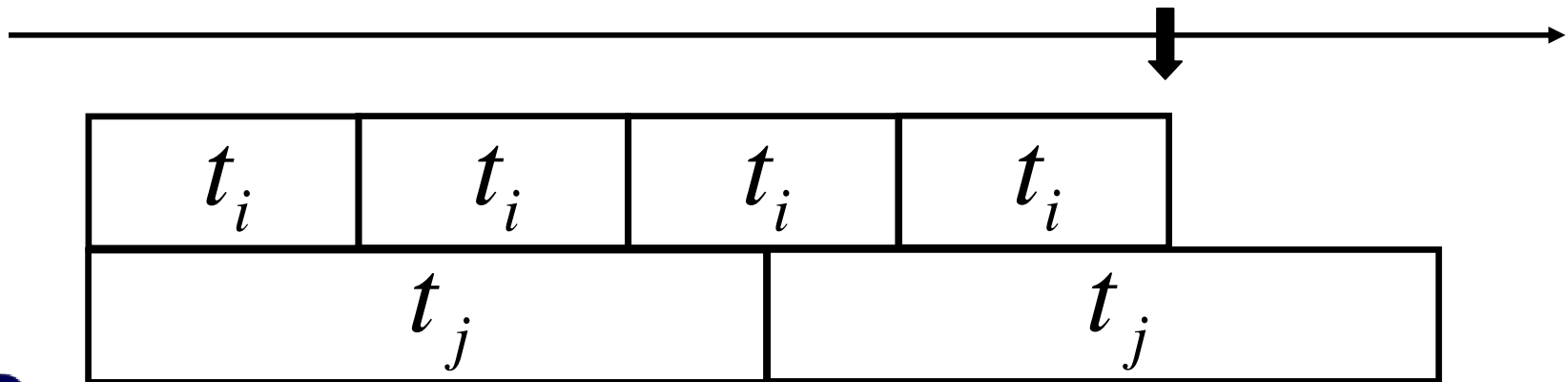
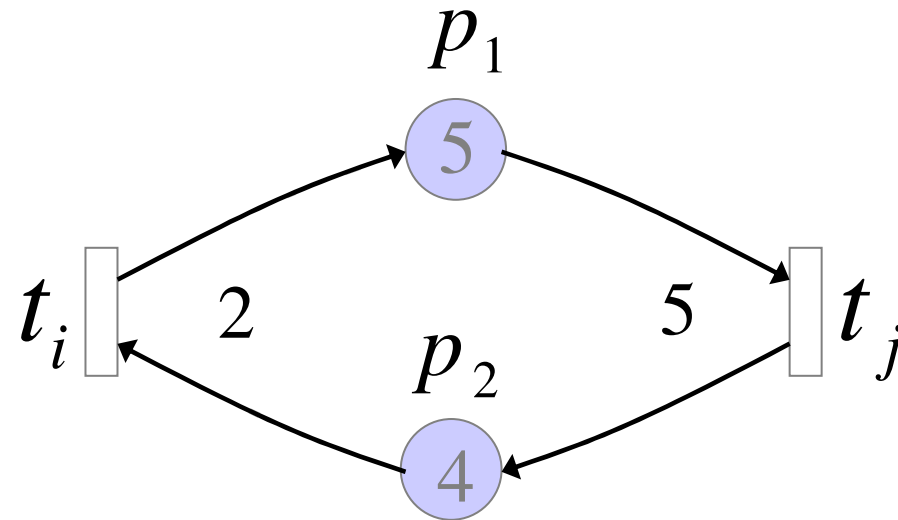
Exemple : cas à deux tâches



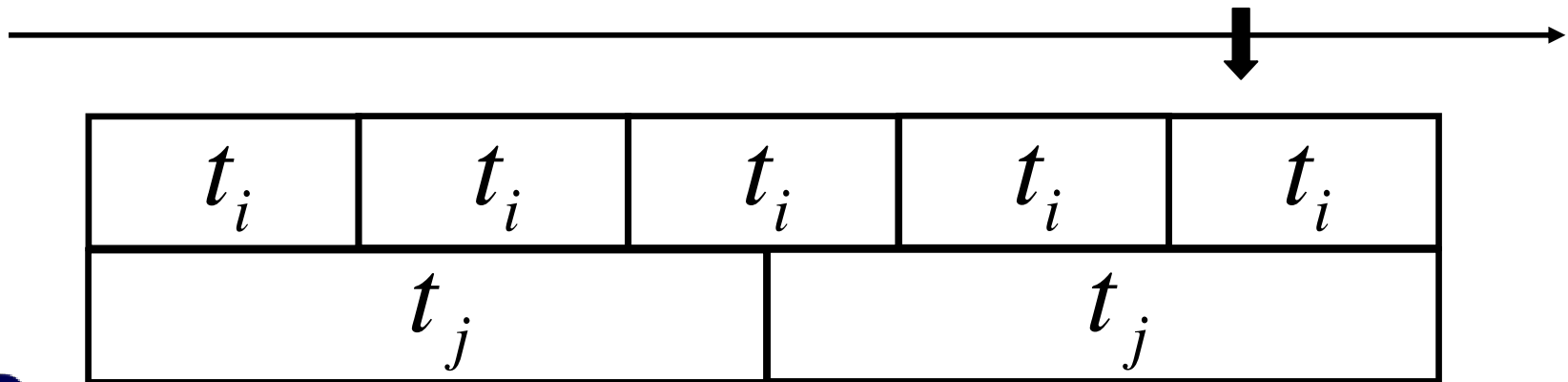
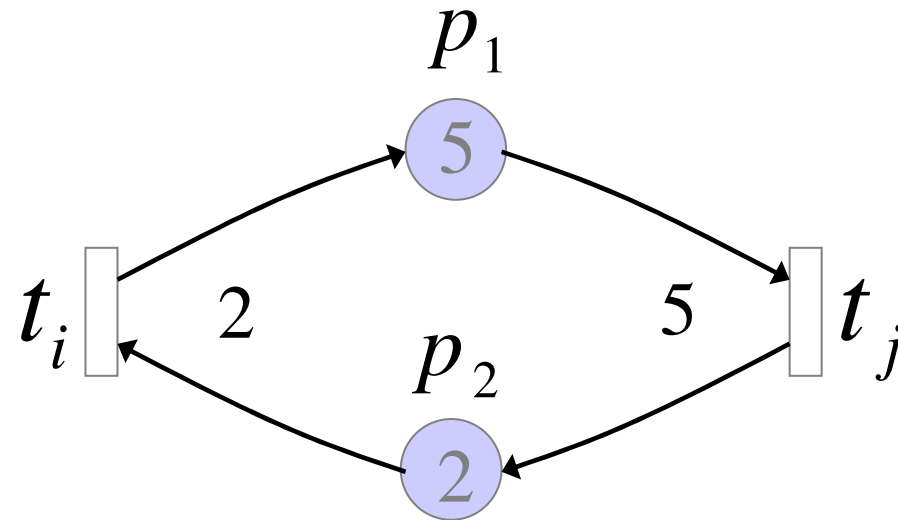
Exemple : cas à deux tâches



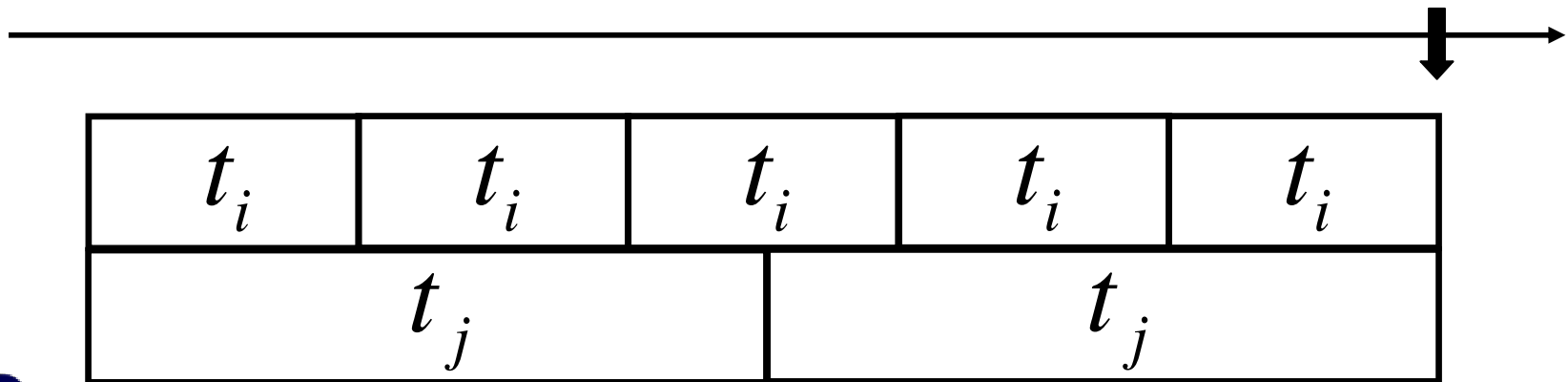
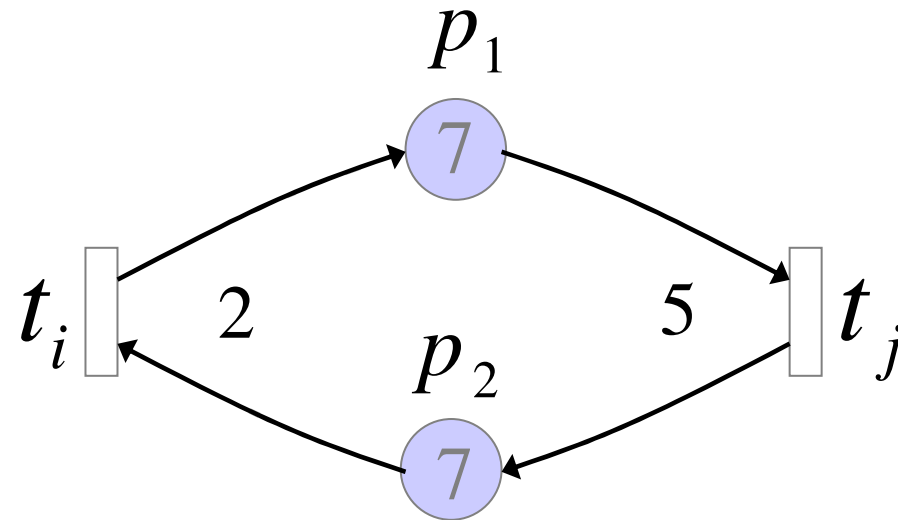
Exemple : cas à deux tâches



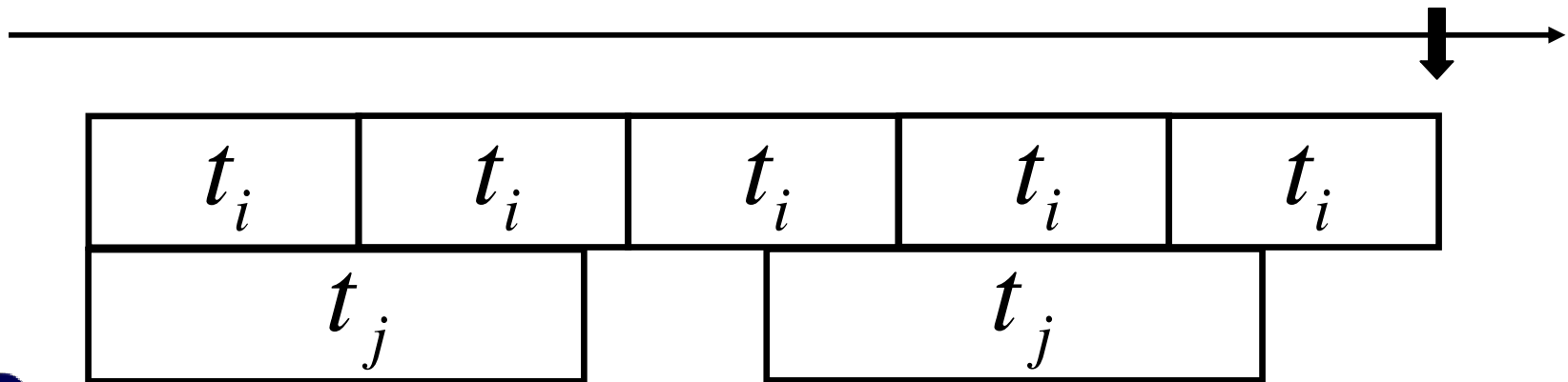
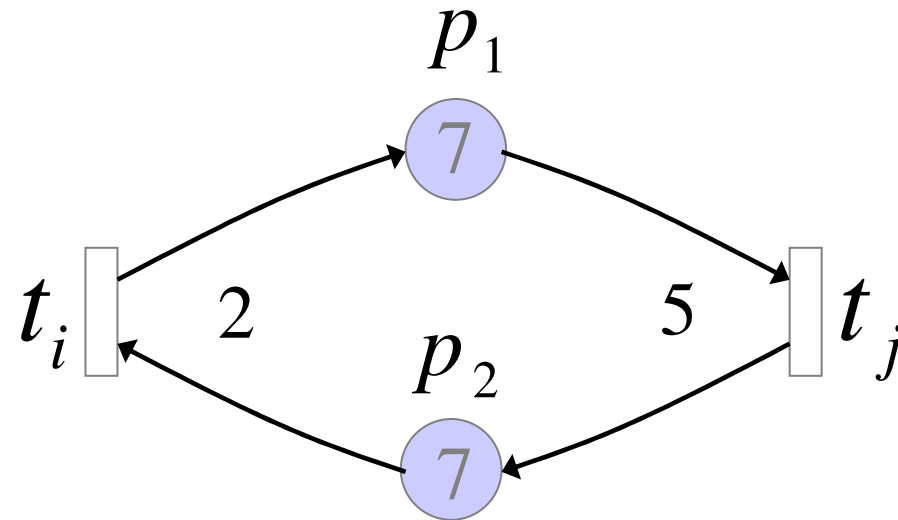
Exemple : cas à deux tâches



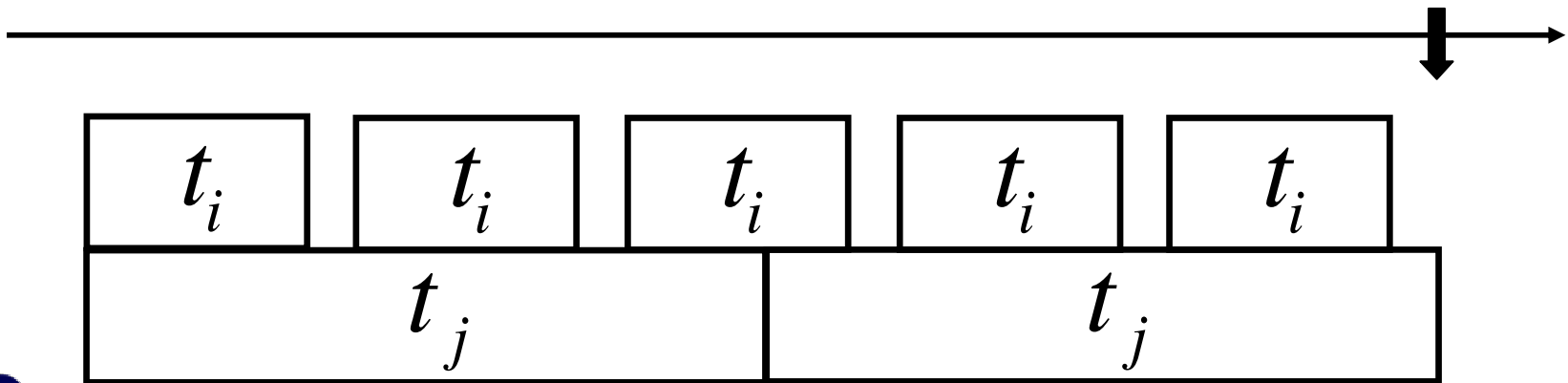
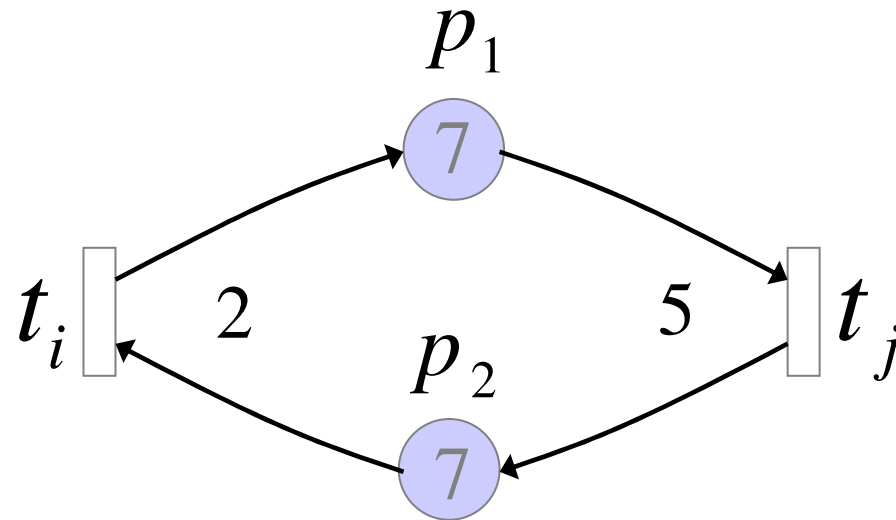
Exemple : cas à deux tâches



Exemple : cas non-critique



Exemple : cas non-critique



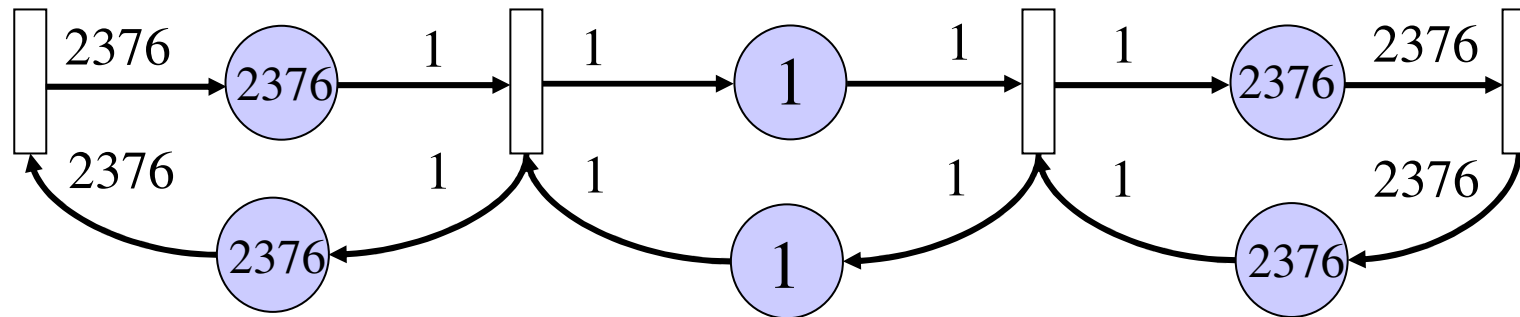
Problème de marquage avec contrainte sur le débit

- ▶ Théorème 5 (MMK-06) : En mettant sur chaque place T_{min} jetons, on obtient une solution 2-approchée pour le problème du débit maximum intrinsèque.

- ▶ L'algorithme est exact si pour toute transition :

$$l(t_i) \cdot N_i = \rho, \quad \forall t_i \in T$$

Exemple : H.263 video codec



Analyser le débit avec
les méthodes existantes

expansion
 \approx simulation

\longrightarrow Algorithme en $\Theta(m)$



Conclusion & Perspectives

Conclusion & perspectives

- ▶ Lien fort entre les problèmes de coloration et ces problèmes d'ordonnancement cyclique.
- ▶ 3 Problèmes bi-critère d'ordonnancement cyclique sont *NP – Complets*.
- ▶ GEGT symétrique : Elaborer une heuristique pour le problème du débit maximum intrinsèque.
- ▶ Etude des ordonnancements 1-périodiques (algorithme polynomiaux pour le débit et la vivacité)

Questions

